

31/VIИ - 65

474

B-124

ОБЪЕДИНЕННЫЙ  
ИНСТИТУТ  
ЯДЕРНЫХ  
ИССЛЕДОВАНИЙ

Дубна

P-2274



В.А.Вагин, В.И.Котов, М.М.Офицеров

ОСОБЕННОСТИ ПОВЕДЕНИЯ ГИБРИДНЫХ  
ВОЛН В КРУГЛОМ ВОЛНОВОДЕ, ЧАСТИЧНО  
ЗАПОЛНЕННОМ АНИЗОТРОПНЫМ  
ДИЭЛЕКТРИКОМ

ЛАБОРАТОРИЯ ВЫСОКИХ ЭНЕРГИЙ

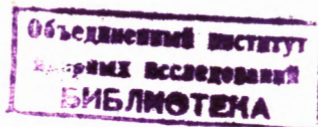
1965

P-2274

В.А.Вагин, В.И.Котов, М.М.Офицеров

ОСОБЕННОСТИ ПОВЕДЕНИЯ ГИБРИДНЫХ  
ВОЛН В КРУГЛОМ ВОЛНОВОДЕ, ЧАСТИЧНО  
ЗАПОЛНЕННОМ АНИЗОТРОПНЫМ  
ДИЭЛЕКТРИКОМ

Направлено в журнал  
"Радиотехника и электроника"



3500/2 нр.

В настоящей работе исследованы условия распространения и свойства гибридных волн в круглом волноводе, частично заполненном анизотропным диэлектриком, причем рассматриваемая анизотропная среда характеризуется диагональным однократно вырожденным тензором

$$\epsilon_{ik} = \begin{vmatrix} \epsilon_r & 0 & 0 \\ 0 & \epsilon_r & 0 \\ 0 & 0 & \epsilon_z \end{vmatrix}. \quad (1)$$

Как показано в работе С.М. Рытова<sup>1/</sup>, подобными диэлектрическими свойствами, в частности, обладает среда, состоящая из периодически чередующихся вдоль оси волновода слоев двух изотропных диэлектриков с диэлектрической проницаемостью  $\epsilon_1$  и  $\epsilon_2$  и толщиной слоев соответственно  $h_1$  и  $h_2$  при условии  $h_1 + h_2 \ll \lambda_B$ , где  $\lambda_B$  - длина волны в волноводе. Компоненты тензора (1) при этом выражаются следующими соотношениями:

$$\epsilon_r = \frac{\epsilon_1 h_1 + \epsilon_2 h_2}{h_1 + h_2} \quad \text{и} \quad \epsilon_z = \frac{\epsilon_1 \epsilon_2 (h_1 + h_2)}{\epsilon_1 h_2 + \epsilon_2 h_1}.$$

В частности, положив  $\epsilon_1 = 1$  и  $\epsilon_2 = \epsilon$ , мы получим случай круглого волновода, нагруженного тонкими диэлектрическими диафрагмами. При этом число диафрагм на длину волны  $\lambda_B$  велико.

В данной работе основное внимание уделяется особенностям в поведении гибридных волн в рассматриваемой волноводной структуре на примере волны с  $\nu = 1$ .

Как обычно, предполагаем, что поля в волноводе описываются выражениями:

$$\vec{E} = \vec{E}(r) e^{i(\omega t - \kappa z + \nu \phi)} \quad \text{и} \quad \vec{H} = \vec{H}(r) e^{i(\omega t - \kappa z + \nu \phi)}, \quad (2)$$

где  $r$ ,  $\theta$ ,  $z$  - цилиндрическая система координат,  $\kappa = \frac{k}{\beta_\phi}$  - постоянная распространения,  $\beta_\phi$  - фазовая скорость в единицах скорости света,  $k$  - волновое число,  $\omega$  - круговая частота и  $\nu = 0, 1, 2, \dots$ . Используем граничные условия на поверх-

ностях  $r = b$  и  $r = a$ , где  $b$  - радиус круглого волновода,  $a$  - радиус свободного канала, нетрудно получить дисперсионное соотношение для гибридных волн:

$$\gamma_1^2 \gamma_2^2 \Psi \Phi + \frac{\nu}{ka} (\epsilon_r - 1) [\Psi + (1 - \gamma_1^2) \Phi] = 0, \quad (3)$$

где

$$\Psi = \frac{\epsilon_r \eta}{\gamma_2} \frac{\psi_1(\eta k_2 b, \eta k_2 a)}{\psi_0(\eta k_2 b, \eta k_2 a)} - \frac{J_{\nu+1}(k_1 a)}{\gamma_1 J_\nu(k_1 a)},$$

$$\Phi = \frac{1}{\gamma_2} \cdot \frac{\phi_1(k_2 b, k_2 a)}{\phi_0(k_2 b, k_2 a)} - \frac{J_{\nu+1}(k_1 a)}{\gamma_1 J_\nu(k_1 a)}, \quad (4)$$

$$\gamma_1^2 = \frac{k_1^2}{k^2}, \quad \gamma_2^2 = \frac{k_2^2}{k^2}, \quad k_1^2 = k^2 - \kappa^2, \quad k_2^2 = k^2 \epsilon_r - \kappa^2, \quad \eta = \sqrt{\frac{\epsilon_r}{\epsilon_r}}.$$

Функции  $\psi_1$ ,  $\psi_0$ ,  $\phi_1$  и  $\phi_0$  определяются следующими соотношениями:

$$\psi_1 = \begin{vmatrix} J_\nu(\eta k_2 b) N_\nu(\eta k_2 b) \\ J_{\nu+1}(\eta k_2 a) N_{\nu+1}(\eta k_2 a) \end{vmatrix}, \quad \phi_1 = \begin{vmatrix} J'_\nu(k_2 b) N'_\nu(k_2 b) \\ J_{\nu+1}(k_2 a) N_{\nu+1}(k_2 a) \end{vmatrix}, \quad (5)$$

$$\psi_0 = \begin{vmatrix} J_\nu(\eta k_2 b) N_\nu(\eta k_2 b) \\ J_\nu(\eta k_2 a) N_\nu(\eta k_2 a) \end{vmatrix}, \quad \phi_0 = \begin{vmatrix} J'_\nu(k_2 b) N'_\nu(k_2 b) \\ J_\nu(k_2 a) N_\nu(k_2 a) \end{vmatrix}.$$

Поля в канале удобно записать в виде [2,3]:

$$E_z = \left( p + \frac{\kappa}{k} q \right) \frac{J_\nu(k_1 r)}{J_\nu(k_1 a)}, \quad H_z = i \left( p \frac{\kappa}{k} + q \right) \frac{J_\nu(k_1 r)}{J_\nu(k_1 a)},$$

$$E_r = \frac{i}{J_\nu(k_1 a)} \left\{ p \frac{\kappa}{k_1} J_\nu(k_1 r) + q \left[ \frac{\kappa}{k k_1} J_{\nu+1}(k_1 r) + \frac{\nu}{k r} J_\nu(k_1 r) \right] \right\}, \quad (6)$$

$$E_{\theta} = \frac{1}{J_{\nu}(k_1 a)} \{ p \frac{\kappa}{k_1} J_{\nu+1}(k_1 r) + q [ \frac{k_1}{k} J_{\nu+1}(k_1 r) - \frac{\nu}{kr} J_{\nu}(k_1 r) ] \} ,$$

$$H_r = - \frac{1}{J_{\nu}(k_1 a)} \{ p [ - \frac{\kappa^2}{k k_1} J_{\nu+1}(k_1 r) + \frac{\nu}{kr} J_{\nu}(k_1 r) ] - q \frac{\kappa}{k_1} J_{\nu+1}(k_1 r) \} ,$$

$$H_{\theta} = \frac{i}{J_{\nu}(k_1 a)} \{ p [ \frac{k_1}{k} J_{\nu+1}(k_1 r) - \frac{\nu}{kr} J_{\nu}(k_1 r) ] + q \frac{\kappa}{k_1} J_{\nu+1}(k_1 r) \} ,$$

где  $p$  и  $q$  - постоянные. Связь между ними находится из следующей системы уравнений, получаемой при выводе дисперсионного соотношения:

$$p \frac{\kappa}{k} \Phi + q [ \Phi + \frac{\nu}{ka} (\frac{\epsilon_r - 1}{\gamma_2^2}) ] = 0 , \quad (7)$$

$$p \Psi + q \frac{\kappa}{k} [ \Psi - \frac{\nu}{ka} (\frac{\epsilon_r - 1}{\gamma_2^2}) ] = 0 .$$

Поля в диэлектрике определяются обычным способом:

$$\Delta_{\perp} E_z + \eta^2 k_2^2 E_z = 0 , \quad \Delta_{\perp} H_z + k_2^2 H_z = 0 ,$$

$$E_r = \frac{\nu k}{k_2^2 r} H_z - \frac{i \kappa}{k_2^2} \frac{\partial E_z}{\partial r} , \quad H_r = - \frac{\nu \kappa}{k_2^2 r} E_z - \frac{i \kappa}{k_2^2} \frac{\partial H_z}{\partial r} , \quad (8)$$

$$E_{\theta} = \frac{\nu \kappa}{k_2^2 r} E_z + \frac{i \kappa}{k_2^2} \frac{\partial H_z}{\partial r} , \quad H_{\theta} = \frac{\nu \kappa}{k_2^2 r} H_z - \frac{i \kappa}{k_2^2} \frac{\partial E_z}{\partial r} ,$$

где оператор  $\Delta_{\perp} = \frac{1}{r} \frac{\partial}{\partial r} r \frac{\partial}{\partial r} - \frac{\nu^2}{r}$ .

Отсюда, учитывая граничные условия при  $r = a$  и  $r = b$  для продольных компонент поля в диэлектрике, найдем:

$$E_z = (p + \frac{\kappa}{k} q) \frac{\psi_0(\eta k_2 b, \eta k_2 r)}{\psi_0(\eta k_2 b, \eta k_2 a)} \quad \text{и} \quad H_z = i(p \frac{\kappa}{k} + q) \frac{\phi_0(k_2 b, k_2 r)}{\phi_0(k_2 b, k_2 a)} . \quad (9)$$

Дисперсионное уравнение (3) по своей структуре не отличается от соответствующего уравнения для круглого волновода с изотропным диэлектриком (см., например <sup>2/</sup>).

Различие состоит лишь в том, что в выражение для функции  $\Psi$  входит параметр  $\eta$ , характеризующий степень анизотропии диэлектрического заполнения. Значение  $\eta = 1$  соответствует изотропному диэлектрику.

Нетрудно показать, что симметричные волны в рассматриваемой волноводной структуре также не имеют гибридного характера и при  $\nu = 0$  уравнение (3) распадается на два независимых дисперсионных соотношения:  $\Psi = 0$  (E-волны) и  $\Phi = 0$  (H-волны). Наоборот, несимметричные волны ( $\nu \neq 0$ ) являются гибридными и анализ дисперсионного уравнения (3) для них в общем виде представляет весьма сложную задачу. Однако существует два частных случая ( $\beta_\phi = 1$  и  $\beta_\phi \rightarrow \infty$ ), для которых уравнение (3) значительно упрощается. При  $\beta_\phi = 1$  ( $\gamma_1 = 0$ ) оно имеет вид

$$\sqrt{\epsilon_z} \frac{\psi_1}{\psi_0} + \frac{\phi_1}{\phi_0} - \frac{k_2 a}{2} = 0 \quad (10)$$

и при критических частотах ( $\kappa = 0$ ,  $\beta_\phi \rightarrow \infty$ ) распадается на два уравнения:

$$\sqrt{\epsilon_z} \frac{\psi_1(\sqrt{\epsilon_z} k b, \sqrt{\epsilon_z} k a)}{\psi_0(\sqrt{\epsilon_z} k b, \sqrt{\epsilon_z} k a)} - \frac{J_{\nu+1}(ka)}{J_\nu(ka)} = 0, \quad (11a)$$

$$\frac{1}{\sqrt{\epsilon_r} \phi_0(\sqrt{\epsilon_r} k b, \sqrt{\epsilon_r} k a)} \frac{\partial \phi_0(\sqrt{\epsilon_r} k b, \sqrt{\epsilon_r} k a)}{\partial(\sqrt{\epsilon_r} k a)} + \frac{J'_\nu(ka)}{J_\nu(ka)} = 0. \quad (11b)$$

Существование двух независимых уравнений связано с вырождением гибридных волн при  $\beta_\phi \rightarrow \infty$  в волны H (уравнение 11a) и волны E (уравнение 11b). Компоненты полей для этих волн нетрудно получить, положив  $\kappa = 0$  в (6), (8) и (9). При этом постоянные  $p$  и  $q$  развязываются. Зависимость уравнения (11a) от продольной  $\epsilon_z$  и (11b) от поперечной  $\epsilon_r$  компонент тензора (1) объясняется тем, что для E-волн из всех компонент электрического поля отличной от нуля является только  $E_z$ , а для H-волн —  $E_\theta$  и  $E_r$ . Решение уравнений (11a) и (11b) при  $\nu = 1$  для первых корней представлено на рис. 1а,б.

Прежде чем приступить к дальнейшему рассмотрению дисперсионных свойств гибридных волн, остановимся на частном случае  $a/b = 0$  (волновод полностью заполнен диэлектриком). Компоненты полей в таком волноводе определяются только соотношениями (8) и распространяющиеся волны представляют собой обычные E и H моды. Дисперсионные уравнения для них имеют простой вид:

$$J'_\nu(k_2 b) = 0 \quad (\text{для H-волн}); \quad (12a)$$

$$J_\nu(\eta k_2 b) = 0 \quad (\text{для E-волн}). \quad (12b)$$

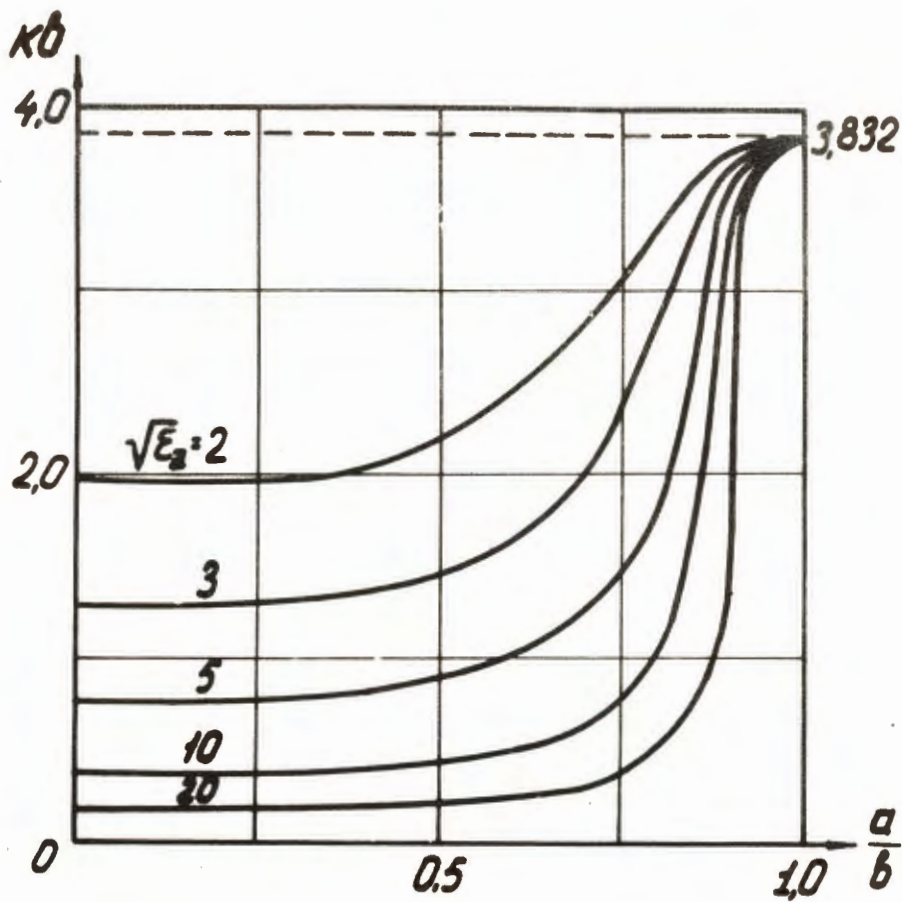


Рис. 1а. Зависимость критической частоты от параметров волновода при  $\nu = 1$ . Первый корень уравнения (1а).

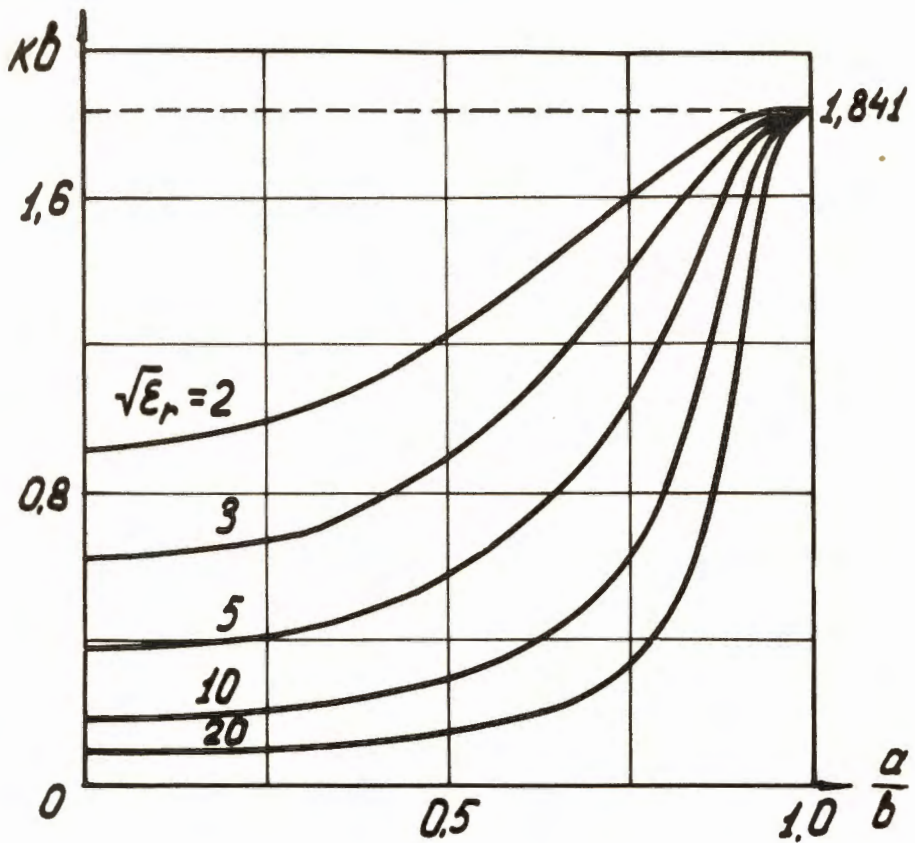


Рис. 16. Зависимость критической частоты от параметров волновода при  $\nu = 1$ . Первый корень уравнения (46).



Из этих уравнений следует, что при изменении параметра  $\eta$  происходит смещение дисперсионных кривых E- и H- волн с одинаковым  $\nu$  относительно друг друга. Очевидно, при значении параметра

$$\eta = \frac{\beta_{\nu n}}{\alpha_{\nu m}}, \quad (13)$$

где  $\alpha_{\nu m}$  -  $m$ -ый корень уравнения (12а) и  $\beta_{\nu n}$  -  $n$ -ый корень уравнения (12б), происходит полное совпадение дисперсионных кривых для соответствующей пары волн  $H_{\nu m}$  и  $E_{\nu n}$ . В частности, для  $\nu = 1$  и  $m = n = 1$  такое значение параметра равно  $\eta = 2,08$ . При  $\eta < 2,08$  нижней является мода  $H_{11}$ , а при  $\eta > 2,08$ , наоборот, -  $E_{11}$ .

Наличие в волноводной структуре свободного канала ( $a/b \neq 0$ ) приводит к появлению связи между несимметричными модами с одинаковым  $\nu$ , которая особенно наглядно проявляется в случае совпадения критических частот двух соседних гибридных мод. При этом имеется не одна (случай полностью заполненного диэлектриком волновода), а две дисперсионные кривые с общей точкой при  $\kappa = 0$  (см. рис. 2). Величина расщепления этих кривых зависит от отношения  $a/b$  и, как уже указывалось выше, обращается в нуль при  $a/b = 0$ . Описанный случай находится из совместного решения уравнений (11а) и (11б). В частности, для  $\nu = 1$  и любого значения  $a/b$  совпадение первых корней этих уравнений легко получить графически, используя данные, приведенные на рис. 1а, б.

Для примера рассмотрим конкретный случай совпадения критических частот для двух нижних гибридных мод с  $\nu = 1$  ( $kb = 0,8581$ ) при  $a/b = 0,5$  и  $\epsilon_2 = 10$  ( $\eta = 1,667$ ). На рис. 2 приведены дисперсионные характеристики I и II для этого случая. Кривая I имеет участок PQ с аномальной дисперсией, что соответствует обратным волнам в рассматриваемой волноводной структуре. На рис. 2 приведены также дисперсионные характеристики этих мод в окрестности совпадения их критических частот. Параметром является  $\epsilon_2$  (или  $\eta$ ). При этом пунктирные кривые соответствуют дисперсионным кривым, критическая частота для которых определяется уравнением (11б) и в рассматриваемом случае фиксирована. Критические частоты для сплошных дисперсионных кривых определяются уравнением (11а) и изменяются в зависимости от величины  $\epsilon_2$  (или  $\eta$ ). Эволюция дисперсионных кривых при изменении параметра  $\eta$  показана на рис. 2. Причем пунктирные кривые для  $\eta = 1,5$  и 1,6 и сплошные для  $\eta = 1,667$  (I); 1,7; 1,8; 2,0 и 2,2 соответствуют нижней гибридной моде, а сплошные кривые при  $\eta = 1,5; 1,6; 1,667$  (II) и пунктирные при  $\eta = 1,7; 2,0$  и 3,0 - верхней моде. В окрестности  $\eta = 1,667$  происходит так называемое "явление обмена критическими частотами" <sup>3,4</sup> между этими двумя модами.

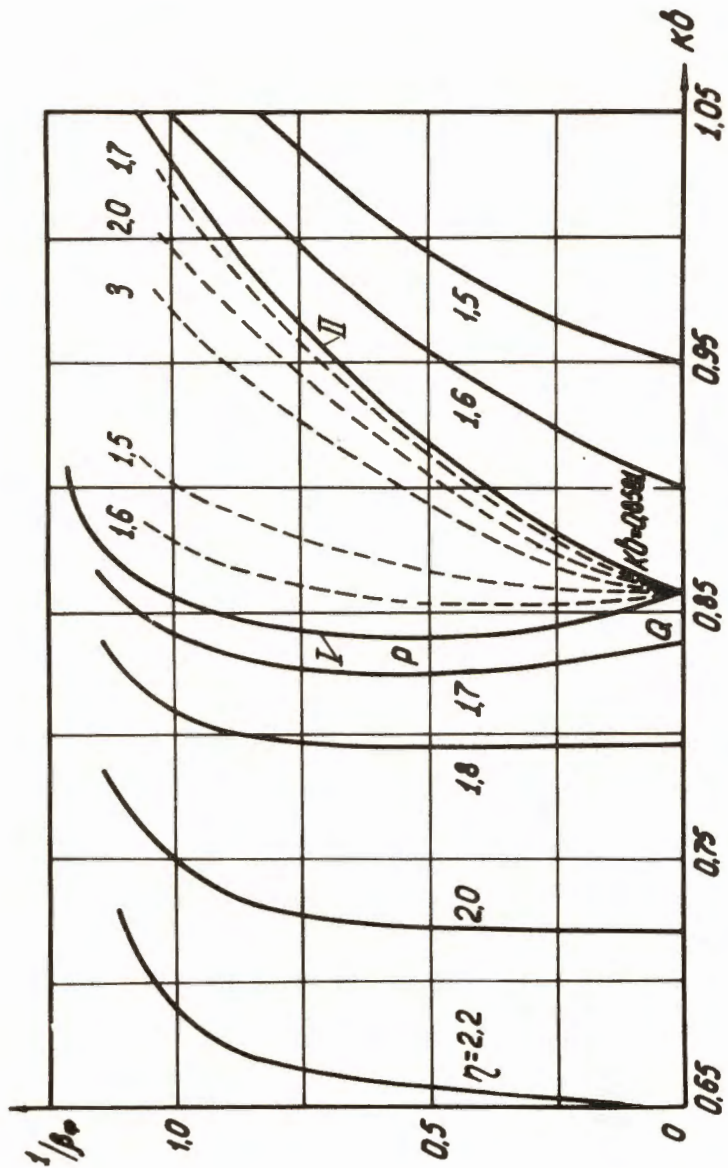


Рис. 2. Дисперсионные характеристики для двух нижних гибридных мод при  $\nu = 1$ ,  $\epsilon_r = 10$ ,  $a/b = 0.5$  и различных значениях параметра  $\eta$  вблизи области совпадения критических частот.

Результаты, представленные на рис. 2, показывают, что для нижней моды наиболее сильно выражен аномальный участок (обратные волны) у дисперсионной кривой  $\bar{1}$ . Условие совпадения критических частот, как было показано для круглого волновода с соосным диэлектрическим стержнем<sup>/5,6/</sup>, благоприятствует появлению обратных волн, но даже и при этом условии в рассматриваемой нами модели для заданной величины  $\epsilon_r$  они существуют лишь в определенном интервале значений  $a/b$ .

## ПРИЛОЖЕНИЕ

### О свойствах гибридных волн в диафрагмированном волноводе

В диафрагмированном волноводе, который в "импедансном" приближении<sup>/4,7/</sup> по своей структуре близок к волноводу, частично заполненному анизотропным диэлектриком, поведение дисперсионных кривых гибридных волн в области совпадения критических частот по своему характеру напоминает описанный выше случай.

Введем следующие обозначения для геометрических параметров этого волновода:  $b$  - радиус волновода,  $a$  - радиус отверстия диафрагм,  $D$  - период структуры. В одноволновом приближении ( $D/\lambda_B \rightarrow 0$ ) пространство, занимаемое диафрагмами ( $a \leq r \leq b$ ), можно считать анизотропной средой, характеризуемой на поверхности  $r = a$  двумя импедансами  $Z_a = -\frac{E_a}{H_\theta}$  и  $Z_\theta = \frac{E_\theta}{H_a}$ , причем диафрагмы считаем бесконечно тонкими. Дисперсионное уравнение для гибридных волн может быть получено с помощью сшивания импедансов при  $r = a$  и имеет вид:

$$\gamma_1^2 \bar{\Psi} \bar{\Phi} + \frac{\nu}{ka} [\bar{\Psi} + (1 - \gamma_1^2) \bar{\Phi}] = 0, \quad (1)$$

где

$$\bar{\Psi} = \frac{\psi_1(kb, ka)}{\psi_0(kb, ka)} - \frac{J_{\nu+1}(k_1 a)}{\gamma_1 J_\nu(k_1 a)}, \quad \bar{\Phi} = -\frac{J_{\nu+1}(k_1 a)}{\gamma_1 J_\nu(k_1 a)}.$$

В случае  $\beta_\phi \rightarrow \infty$  уравнение (1) распадается на два:

$$J_\nu(kb) = 0 \quad (\text{Иа})$$

и

$$J'_\nu(ka) = 0. \quad (\text{Иб})$$

Условие совпадения критических частот двух соседних гибридных мод аналогично соотношению (13):

$$\frac{b}{a} = \frac{\beta_{\nu n}}{\alpha_{\nu m}},$$

где  $\beta_{\nu_n}$  и  $\alpha_{\nu_m}$  - соответствующие корни уравнений (И а) и (И б). В частности, для двух нижних мод с  $\nu = 1$  критические частоты совпадают при  $b/a = 2,08$ .

Так же, как для волновода с анизотропным диэлектриком, в диафрагмированном волноводе существуют обратные волны <sup>/4/</sup>.

#### Л и т е р а т у р а

1. С.М.Рытов. ЖЭТФ, 29, 805 (1955).
2. В.А.Вагин, В.И.Котов, ЖТФ, 35, 1273 (1985).
3. I.R.Pierce, P.K.Tien, Proc. IRE, v.42, 1389 (1954).
4. Y.Garaut, CERN 64-43, Geneve (1964).
5. P.Clarricoats, Proc. IEE, 110, 261 (1963).
6. R.A.Waldron, Proc. IEE, 111, 1659 (1964).
7. М.А.Миллер. Докл. АН СССР, 87, 571 (1952).

Рукопись поступила в издательский отдел  
15 июля 1985 г.